

پایش فروچاله‌های شهر کبودرآهنگ همدان با استفاده از تکنیک تداخل‌سنجدی

راداری

آرزو امینی^۱، نیکروز مستوفی^{۲*}

۱- کارشناس ارشد سنجش از دور، دانشکده فنی-مهندسی، دانشگاه آزاد تهران-جنوب، تهران، ایران

Arezouamini73@gmail.com

۲- عضو هیئت علمی و مدیر گروه مهندسی نقشه‌برداری، دانشکده فنی-مهندسی، دانشگاه آزاد تهران-جنوب، تهران، ایران
mostofi_n@yahoo.com ایران(نویسنده مسئول)

تاریخ دریافت: ۱۴۰۱/۰۱/۲۰

تاریخ پذیرش: ۱۴۰۱/۰۲/۱۰
پیش‌زمینه و هدف: فرونشست سطح زمین در اثر استخراج بی‌رویه از منابع آب زیرزمینی، یکی از رویدادهایی است که در ایران به وفور مشاهده شده است. با توجه به استخراج بی‌رویه منابع آب زیرزمینی در کشور، متاسفانه روزبهروز استان‌های بیشتری دچار فرونشست زمین شده یا در معرض خطر فرونشست زمین قرار می‌گیرند از جمله استان‌های کرمان، تهران، خراسان‌رضوی، همدان، گلستان و اصفهان را می‌توان نام برد. دشت کبودرآهنگ همدان غنی‌ترین دشت استان همدان از نظر دارا بودن منابع آب زیرزمینی می‌باشد اما متاسفانه در ۳۰ سال اخیر به علت برداشت بیش از حد از آب‌های زیرزمینی به منظور تامین نیازهای کشاورزی و صنعتی و عدم وجود نظارت کافی بر این مسئله، به شدت با افت سطح آب‌های زیرزمینی مواجه شده است که سبب بروز فرونشست و البته وقوع فروچاله‌ها در شهر کبودرآهنگ شده است. هدف از انجام این پژوهش شناسایی مناطق مستعد وقوع فروچاله با بررسی نرخ فرونشست جهت پیشگیری و کاهش آسیب‌های ناشی از آن می‌باشد.

روش: با نتایج پردازش بدست آمده به کمک شش سری تصاویر راداری ماهواره **SENTINEL-1** در بازه زمانی سال ۲۰۱۷ الی ۲۰۱۸ با استفاده از نرم‌افزار **SNAP** نرخ فرونشست بدست آمده است و براساس نرخ بدست آمده نواحی پرخطر و مستعد وقوع فروچاله شناسایی شده است.

یافته‌ها: پس از بررسی بازه‌های تقریباً سه ماهه از منطقه مورد مطالعه با استفاده از تصویر دوره اول و دوره آخر به بازه زمانی ۳۶۱ روز یعنی تصاویر ۲۰۱۷/۰۹/۱۰ تا ۲۰۱۸/۰۹/۱۵ منطقه مورد مطالعه به طور کلی مورد بررسی قرار گرفت. نتایج این بررسی نشان می‌دهد که در بازه یک ساله به میزان ۱۴/۵ سانتی‌متر محدوده مورد مطالعه فرونشست داشته است، که این فرونشست به طور جزئی بیشتر در مناطق کردآباد، نوآباد، کبودرآهنگ، فامین و به طور کلی در دشت فامین، کبودرآهنگ، قهاؤند و اطراف همدان اتفاق افتاده است. که این نتایج می‌تواند خبر وقوع خطر فروچاله‌ها در این مناطق را بدهد.

نتیجه‌گیری: نتایج نهایی در مجموع فرونشست حدود ۱۴/۵ سانتی‌متر در محدوده را نشان می‌دهد که بیشتر این فرونشست‌ها در اطراف مناطق شهری و نزدیک به مناطق مسکونی اتفاق افتاده است که این عامل می‌تواند خبر از وقوع فاجعه‌ای انسانی قریب به وقوع را در استان همدان به خصوص دشت کبودرآهنگ را بدهد.

کلید واژه: فرونشست، فروچاله، تداخل‌سنجدی راداری، شهر کبودرآهنگ، استان همدان

مقدمه

پدیده فروچاله و نشست زمین در دشت‌ها از خطرات طبیعی تشدیدشونده هستند که امروزه به دلیل سرعت و تراکم شکل‌گیری مورد توجه قرار گرفته‌اند. این پدیده در اغلب موارد به صورت عمودی اتفاق افتاده و در مدت زمان کوتاه محسوس نیست. عموماً این پدیده به صورت موضعی است و مکانیسم آن‌ها به فرایندهای فیزیکی و طبیعی بستگی دارد(امیدوار، ۲۰۱۱). این مخاطرات طبیعی جان و مال انسان‌ها را در نقاط مختلف کارستی دنیا تهدید می‌کنند. در مقیاس جهانی، خطر فرونشست و فروچاله‌ها بین سال‌های ۱۹۵۰ تا ۱۹۷۰ که هم زمان با صنعتی شدن و رشد شهرنشینی است به اوج خود رسید(التام، ۱۹۸۹^۱). عوامل متعددی باعث ایجاد فرونشست زمین می‌شوند: از جمله انحلال، آب‌شدگی بخ‌ها و تراکم نهشته‌ها، حرکت آرام زمین و خروج گدازه و یا عملیات انسانی نظیر معدن‌کاری با برداشت بی‌رویه از منابع آب زیرزمینی، نفت و گاز، ریزش سازه‌های زیرزمینی مانند تونل‌ها و یا ایجاد حفرات در اثر انحلال(مهشادنیا، ۱۳۸۵^۲). خسارت‌های ناشی از رخداد فرونشست و پدیده‌های پیرو آن شامل: بیابان‌زایی، آسیب‌پذیری آبخوان‌ها، تغییر توپوگرافی زمین، آلدگی زیست‌محیطی و تغییر کیفیت آب ایجاد فروچاله‌ها می‌باشد(رشیدترابی و بینا، ۱۳۹۳^۳). فروچاله‌ها گودال‌های بسته‌ای هستند که به صورت حفره‌هایی در سطح زمین‌های آهکی و دیگر سنگ‌های انحلال‌پذیر و یا آبرفتی به وجود می‌آیند(کرم و همکاران، ۱۳۹۲^۴). مصرف روزافزون آب، رشد مصرف آب در کشاورزی، حفر چاه‌های مجاز و غیرمجاز در طول چند دهه گذشته، موجب کاهش و افت سطح منابع آب زیرزمینی و در پی آن نشست دشت‌ها و ایجاد فروچاله شده است. طبق گزارش‌ها تاکنون ۱۵ استان ایران از جمله تهران، کرمان، یزد، اصفهان، خراسان رضوی، همدان، فارس، آذربایجان شرقی، آذربایجان غربی، سمنان، البرز، قزوین، مرکزی، اردبیل و گلستان با پدیده فرونشست زمین مواجه شده‌اند. در این بین استان همدان با داشتن ۲۴ فروچاله از مناطق آسیب‌پذیر از این پدیده زیست‌محیطی است. بیشترین عمق فروچاله در استان همدان مربوط به روستای کردآباد در شهرستان کبودآهنگ با ۶۰ متر عمق است (<http://www.drange.ir/>^۵).

تغییرات سطح زمین به میزان قابل توجهی باعث افزایش روند بلایای طبیعی می‌شوند که اثر این بلایا باعث خسارات شدید بر عوارض سطح زمین می‌شود و با بهره‌گیری از تکنیک‌های راداری که به منظور شناسایی و هشدار و کاهش خسارات مورد استفاده قرار می‌گیرد. برای مطالعه و شناسایی فروچاله‌ها می‌توان از روش‌های سنتی روش‌های ژئومورفولوژیکی^۶ و مجموعه داده‌های جغرافیایی مثل تصاویر هوایی، نقشه‌های توپوگرافی^۷ یا نقشه‌های ارتفاعی^۸ و نقشه‌برداری زمینی استفاده کرد. استفاده از روش‌های سنتی اگرچه دقت بالایی دارد اما با توجه به اینکه وقوع فروچاله در یک ناحیه ناگهانی رخ می‌دهد و در اندازه‌های مختلفی هستند قابل پیش‌بینی و اندازه‌گیری نیستند. استفاده از روش‌های سنتی برای بررسی نشست‌ها و فروچاله‌ها برای مناطق وسیع از لحاظ اقتصادی به صرفه نیست و گاهی اوقات غیرممکن می‌باشد همچنین در این روش‌ها نیاز به مواردی چون نیروی انسانی، نقاط کنترل زمینی و ایستگاه زمینی داریم. در این روش فقط تغییرات بزرگ قابل شناسایی هستند(گوتیرز^۹ و همکاران، ۲۰۱۱). استفاده از تکنیک تداخل‌سنگی راداری INSAR این امکان را فراهم می‌آورد با دقت بالا، در مناطق وسیع و در تمام ساعات شبانه روز تغییرات

¹Waltham

²Geomorphological

³Topographic maps

⁴Digital elevation models)DEMs(

⁵Gutierrez

در حد سانتی متر بررسی و شناسایی شود(باکون^۱ و همکاران، ۲۰۲۰؛ براردینو^۲ و همکاران، ۲۰۰۳؛ باونگا، نوتریکاتو، رفیس و واسوفسکی^۳؛ هائنو^۴ و همکاران، ۲۰۱۹؛ کانگ، راثو، ژانگ، لو، و لی^۵؛ ۲۰۱۷؛ واسوسکی و بوونگا^۶؛ ۲۰۱۴؛ راثو، وو، دینگ و وانگ^۷؛ بوزانو^۸ و همکاران، ۲۰۱۷؛ ۲۰۲۰). البته این روش محدودیت‌هایی نیز دارد که به علت ثابت بودن مدار و شرایط هندسی اخذ داده اتفاق می‌افتد و سبب کاهش انسجام در اخذ داده‌هایی شود(کاستاندا، پورتی و سویریس^۹؛ ۲۰۱۱؛ فرتی، پراتی، و روکا^{۱۰}). استفاده تلفیقی از دو روش سنتی و جدید به صورت مکمل سبب می‌شود مجموعه اطلاعات کاملی برای بررسی تغییرات سطح زمین فراهم آورده شود(براردینو و همکاران، ۲۰۰۳؛ بوونگا و همکاران، ۲۰۰۶؛ واسوفسکی و بوونگا، ۲۰۱۴). در دو دهه اخیر تحقیقات زیادی در زمینه بررسی فروچاله‌ها با استفاده از تکنیک‌تداخل‌سنگی راداری INSAR انجام شده است(آتزوری، بائر، آنتونیولی و سالوی^{۱۱}؛ گالو، کاستاندا، گتوریز، و هرها^{۱۲}؛ ۲۰۱۵؛ گوتیرز و همکاران، ۲۰۱۱؛ ایتریری^{۱۳} و همکاران، ۲۰۱۵؛ نوف^{۱۴} و همکاران، ۲۰۱۹). اولین مطالعه رسمی فروچاله‌ها توسط سازمان یونسکو در ۱۹۰۰ انجام شد که به بررسی تفضیلی ۴۵ فروچاله در ۱۵ کشور جهان پرداخت از جمله مطالعات می‌توان به فروچاله‌های جنوب شرق امریکا(ویلسون و بک^{۱۵}؛ ۱۹۸۸) و همکاران، ۲۰۱۹) اشاره کرد که هجوم آب از آبخوان‌ها، خلاهای موجود در خاک، وزن خاک و فرایند اشباع به تشکیل فروچاله مناطق کارستی چین دریافتند که هجوم آب از آبخوان‌ها، خلاهای موجود در خاک، وزن خاک و فرایند اشباع به تشکیل فروچاله کمک می‌کنند و اقدامات کلیدی کنترل کننده وقوع فروچاله، کاهش نوسانات افت آب و مهروموم کردن حفرات مناطق کارستی است. در سال ۲۰۰۸ پانو^{۱۶} و زیسمان^{۱۷} ارتباط عکس‌های هوایی، نقشه‌ها، حفره‌ها و مطالعات ژئوفیزیکی برای تشخیص فروچاله تأیید می‌کنند. پین و همکارانش در سال ۲۰۱۲، از پردازش‌های میگروگرامتری^{۱۸} GPS و InSAR در بازه زمانی ژانویه تا جولای سال ۲۰۰۷ و از تداخل‌نمایه‌ای ماهواره ALOS-1 در تگراس استفاده کرد و نشان داد نرخ فرونشست حدود ۳۰ سانتی متر در سال است(پین، باکلی، کالینز و ویلسون^{۱۹}؛ ۲۰۱۲). در سال ۲۰۱۶ و ۲۰۱۸ در همان ناحیه از تصاویر Sentinel-1A/B جهت بررسی ریزش فروچاله‌ها استفاده شده است(کیم و لو^{۲۰}؛ ۲۰۱۸؛ کیم، لو و دگراندپر^{۲۱}؛ ۲۰۱۶). تکنیک تداخل‌سنگی راداری که جهت

¹Bakon²Berardino³Bovenga, Nutricato, Refice, & Wasowski⁴Hao⁵Kang, Zhao, Zhang, Lu, & Li⁶Wasowski & Bovenga⁷Zhao, Wu, Ding, & Wang⁸Bozzano⁹Castaneda, Pourthie, & Souyris¹ Ferretti, Prati, & Rocca^۰¹ Atzori, Baer, Antonioli, & Salvi¹ Galve, Castañeda, Gutiérrez^۲ & Herrera¹ Intrieri^۳¹ Nof^۴¹ Wilson & Beck^۵¹ Orlando^۶¹ Gongyu^۷¹ Wanfang^۸¹ Panno^۹² Zisman^۰² Microgrammetry^۱² Paine, Buckley, Collins, & Wilson^۳² Kim & Lu^۴² Degrandpre^۴

تشخیص تغییر شکل‌های طولانی مدت در مناطق مستعد تشکیل فروچاله انجام شده است (چانگ و هانسن^۱، ۲۰۱۴). و این روش جهت شناسایی حرکت مکانی فروچاله‌ها در مناطقی از اسرائیل، آمریکا، مکزیک و اسپانیا انجام شده است (آونی^۲ و همکاران، ۱۳۹۵؛ باهر^۳ و همکاران، ۲۰۰۲؛ کاستاندا، گوتیریز، مانتونتا، و گالو^۴، ۲۰۰۹؛ کلسون^۵ و همکاران، ۲۰۰۳؛ گوتیریز و همکاران، ۲۰۱۱؛ جونز و بلوم^۶، ۲۰۱۴؛ نوف و همکاران، ۲۰۱۳؛ راکر، پاندا، مایرز و لوملر^۷، ۲۰۱۳). در مطالعه‌ای تحت عنوان "پایش میزان فرونشست محدوده شهری پاکدشت با استفاده از روش تداخل‌سنگی راداری" با استفاده از تصاویر راداری ماهواره سینیل-۱ و نرم‌افزارهای snap و snaphu مقدار جابه‌جایی در این محدوده محاسبه شده است و علت اصلی وقوع فرونشست در این ناحیه برداشت آب‌های زیرزمینی عنوان شده است (ابراهیمی، عطربن، قاسمی، افshan، & گنجائیان، ۲۰۲۰).

در مطالعه‌ای در سیلزیای^۸ اهلستان ۳۴۵ فروچاله در بازه زمانی ۲۰ سال (۱۹۹۲-۲۰۱۳) بررسی شده است. بیشتر این فروچاله در مناطقی با جمعیت بالا رخ داده است و علت اصلی وقوع آن‌ها، معدن‌کاری بوده است. برای بررسی و شناسایی از فناوری راداری استفاده شده است و از تصاویر ENVISAT SAR در مدت زمان ماه مارچ ۲۰۰۳ تا آگوست ۲۰۱۰ و از روش^۹ PSI با استفاده از نرم‌افزار Doris برای تهیه اختلاف فاز و از SRTM برای تولید DEM استفاده شده است. با استفاده از تصاویر اخذ شده مناطق مستعد فروچاله نیز شناسایی شده است (مالینوفسکا^{۱۰} و همکاران، ۲۰۱۹). در مطالعه‌ای در سال ۲۰۱۹ به تجزیه و تحلیل فرونشست در بازه زمانی ۲۰۰۷ تا ۲۰۱۱ با استفاده از تکنیک InSAR در تگزاس که سبب پدید آمدن فروچاله‌ها می‌شود. در این مطالعه از تکنیک سری زمانی InSAR برای پردازش ۱۶ تصویر با پلاریزاسیون HH در باند L که توسط ماهواره AlosPasar اخذ شده است، استفاده شده است. نتایج این تحقیق نشان داد که دو فروچاله بزرگ طی سال‌های ۱۹۸۰-۲۰۰۲ رخ داده است و پس از آن در طی سال‌های ۲۰۱۱-۲۰۰۷ در بازه زمانی ۴ ساله بزرگترین فروچاله رخ داده است نرخ فرونشست در این بازه ۴۰ سانتی‌متر در سال و در سال ۲۰۱۰، ۵۰ سانتی‌متر در سال است. که یکی از علل رخداد این فاجعه خشکسالی و پس از آن بارش‌های سیل آسا است (شی، تانگ، لیبو، کیم، و پن^{۱۱}). در مطالعه‌ای در مرکز غرب فلوریدا با استفاده از InSAR در سال ۲۰۲۰ مشخص شد که فعالیت فروچاله‌ها در این منطقه یک تهدید جدی برای مردم است. افزایش نرخ رشد فروچاله‌ها در این ناحیه به سبب استفاده از آب‌های زیرزمینی و منابع آبزیرزمینی است. به این خاطر برای شناسایی فرونشست زمین که منجر به فروریختن زمین (فروچاله) می‌شود، از داده‌های تداخل‌سنگی راداری استفاده شده است. در این تحقیق از داده‌های جمع‌آوری شده تراسر-ایکس که در مدت ۱/۷ سال با قدرت تفکیک از ۰/۲۵ تا ۰/۶۰ متر و همچنین از تکنیک StaMPS با استفاده از PSI، استفاده شده است (راینسون^{۱۲} و همکاران، ۲۰۲۰). در پژوهشی در سال ۲۰۲۱ در بازه زمانی ۲۰۲۰-۲۰۱۹ با استفاده از ۱۱ سری داده ماهواره SENTINEL1A و

¹Chang &Hanssen

²Avni

³Baer

⁴Castañeda, Gutiérrez, Manunta, &Galve

⁵Closson

⁶Jones &Blom

⁷Rucker, Panda, Meyers, &Lommel

⁸Silesia

⁹Preference selection index

¹ Malinowska 0

¹ Shi, Tang, Lu, Kim, &Peng 1

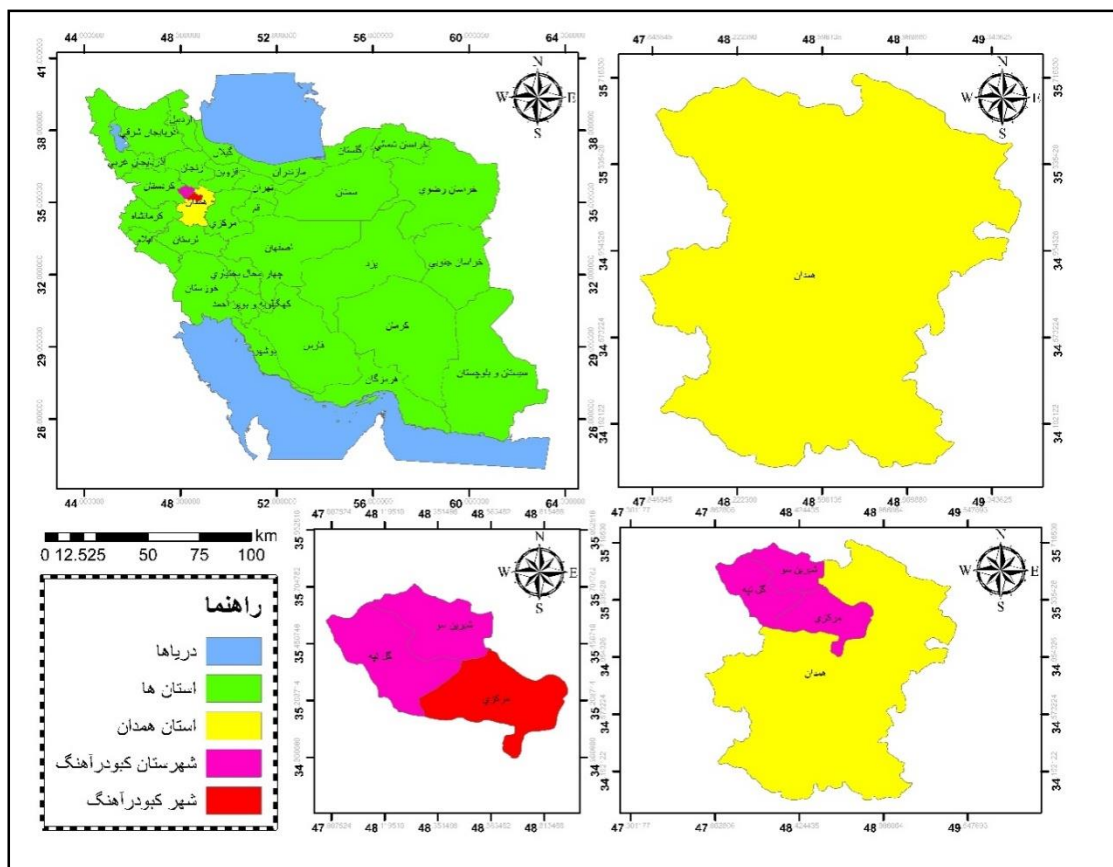
¹ Robinson 2

و با استفاده از شبکه عصبی مصنوعی برای تغییر شکل سطح زمین در منطقه کربلا ترکیه برای ارزیابی نواحی مستعد وقوع فروچاله استفاده شده است.

هدف از انجام این پژوهش میزان فرونشست اتفاق افتاده در دشت کبودرآهنگ مورد بررسی قرار گرفته است. دلیل انتخاب این بازه زمانی آخرین فروچاله اتفاق افتاده در دشت کبودر آهنگ در روز ۱۸،۰۹،۰۴ به عمق ۶۰ متر در نزدیکی کردآباد می‌باشد. در این پژوهش قرار است تغییرات یکسال اخیر اتفاق افتاده در دشت کبودرآهنگ و اطراف آن مورد بررسی قرار گیرد.

روش

شکل ۱ محدوده مطالعاتی، شهر کبودرآهنگ شهری در استان همدان است و مرکز شهرستان کبودرآهنگ است. این شهر از سه بخش به نام‌های؛ مرکزی (کبودرآهنگ)، گل‌تپه و شیرین‌سو و ۱۱ دهستان دیگر تشکیل شده است. موقعیت جغرافیایی شهر کبودرآهنگ (۳۵,۱۹۶۱ درجه شمالی و ۴۸,۷۲۹۴ درجه شرقی) می‌باشد.



شکل ۱ نقشه موقعیت منطقه مورد مطالعه

برای بررسی نرخ فرونشست از تصاویر ماهواره **SENTINEL-1** استفاده شده است. سنجنده **SENTINEL-1** شامل دو ماهواره **SENTINEL1A&1B** می‌باشد. تصویربرداری این سنجنده در باند **C** (فرکانس $5/4$ هرتز) در چهار حالت **IW**^۱, **EW**^۲, **SM**^۳ و **WV**^۴ انجام می‌شود. در جدول ۱ مشخصات تصاویر استفاده شده نشان داده شده است.

جدول ۱ - مشخصات تصاویر مورد استفاده

شماره	تاریخ تصویربرداری	فرمت تصویربرداری	حالت تصویربرداری (مد)	گذر و قطبش تصویربرداری	پلاریزاسیون
۱	۲۰۱۷/۰۹/۱۵	SLC	IW	ISDV	VV
۲	۲۰۱۷/۱۲/۰۸	SLC	IW	ISDV	VV
۳	۲۰۱۸/۰۳/۰۲	SLC	IW	ISDV	VV
۴	۲۰۱۸/۰۶/۰۶	SLC	IW	ISDV	VV
۵	۲۰۱۸/۰۸/۰۵	SLC	IW	ISDV	VV
۶	۲۰۱۸/۰۹/۱۰	SLC	IW	ISDV	VV

در این تحقیق پس از تهیه تصاویر از روش تداخل‌سنگی راداری برای برآورده مقدار جابه‌جایی در منطقه استفاده شده است. جهت انجام تداخل‌سنگی از نرم‌افزار **SNAP8.0** استفاده شده است. این نرم‌افزار جعبه‌ابزارهایی^۵ برای پردازش داده‌های راداری دارد. مراحل پیاده‌سازی و پردازش تصاویر راداری در نرم‌افزار **SNAP** در شکل ۲ نشان داده شده است. بدین منظور ابتدا داده‌های اخذ شده وارد نرم‌افزار می‌شوند. سپس عملیات اسپلیت^۶ به منظور تصحیح اطلاعات مربوط به موقعیت ماهواره در زمان تصویربرداری و زمان حرکت سنجنده^۷ انجام می‌شود. به منظور انباسته کردن^۸ دو تصویر نسبت به یکدیگر عملیات ثبت هر دو تصویر^۹ به منظور افزایش تنوع طیفی^{۱۰} با استفاده از یک آزمیوت و برد ثابت استفاده می‌شود. پس از اجرای مراحل فوق تداخل‌نمای^{۱۱} حاصل از دو تصویر تشکیل می‌شود. تداخل‌نمای تشکیل شده شامل: مولفه فازی^{۱۲} Φ_{def} تغییر شکل‌های سطحی زمین به خاطر فرایندهای طبیعی یا فعالیت‌های انسانی، فاز^{۱۳} Φ_{topo} ناشی از توپوگرافی، فاز^{۱۴} Φ_{flat} ناشی از مسطح بودن زمین و مولفه فازی^{۱۵} ϵ_{error} مزاحم در تداخل‌نگار (فاز اتمسفری، رمپ‌های مداری و باقی مانده فاز مربوط به نویز) می‌باشند.

$$\Phi_{int} = \Phi_m - \Phi_s = \Phi_{def} + \Phi_{topo} + \Phi_{flat} + \epsilon_{error}$$

^۱Strip map

^۲Inerfrometric wide swath

^۳Extra wide swath

^۴Wave

^۵Toolbox

^۶Split

^۷Apply orbit file

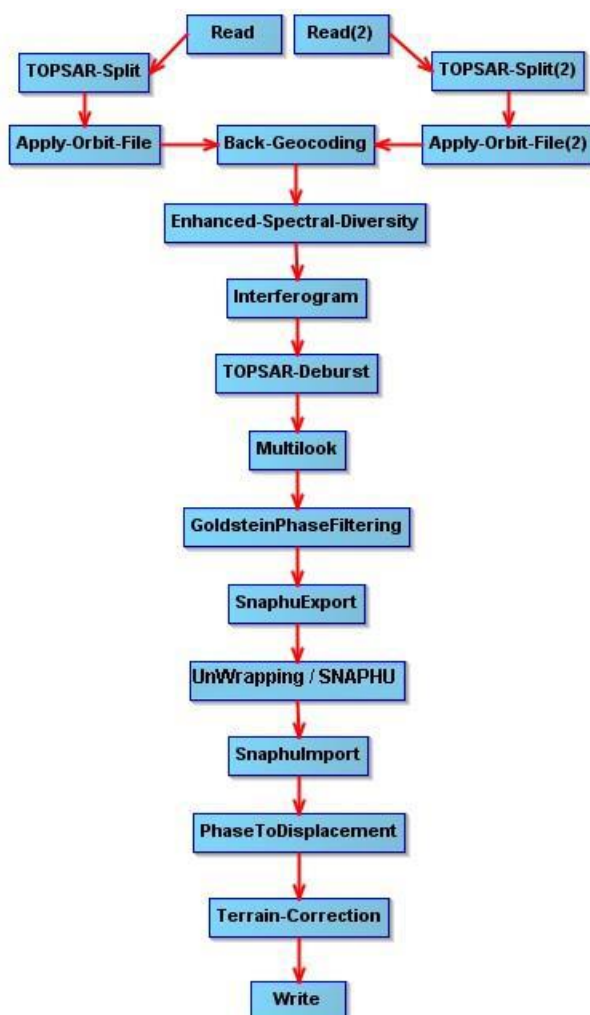
^۸Stack

^۹Coregistration

^{۱۰}Enhanced spectral diversity^۰

^{۱۱}Interfrogram

از آنجایی که هدف این پژوهش برآورد مقدار جابه‌جایی می‌باشد، در طی پردازش‌های تداخل‌سنگی سایر منابع خطأ باید حذف شد و فقط فاز جابه‌جایی باقی بماند. پس از تهیه تداخل‌نما، خطوط سیاه BURST در تصاویر مشاهده می‌شود به همین منظور عملیات TOPS DEBURST جهت یکپارچه‌سازی تداخل‌نما انجام می‌شود. برای حذف اثر توپوگرافی از عملگر TOPOGRAPHIC PHASE REMOVAL انجام می‌شود. سپس مرحله بازیابی فاز، جهت بالا بردن درستی این مرحله ابتدا نسبت سیگنال به نویز توسط اجرای فیلتر بر روی فاز تداخل‌نماها انجام می‌شود. از فیلتر گلدشتاین^۱ که توسط گلدشتاین و در سال ۱۹۹۸ طراحی شده، استفاده شد. بازیابی فاز در نرم‌افزار SNAP به منظور تبدیل فاز به جابه‌جایی عمودی قابل اجرا نمی‌باشد. لذا برای انجام آن از نرم‌افزار واسطه SNAPHU استفاده می‌شود پس از انجام اقدامات لازم برای بازیابی فاز در SNAPHU از هر تداخل‌نما خروجی گرفته می‌شود و مجددآ خروجی‌ها را به محیط نرم‌افزار وارد می‌کنیم. پس از آن فاز جابه‌جایی جهت تعیین هرگونه جابه‌جایی از منظر راداری به صورت یک اختلاف فاز میان دو تصویر قبل و بعد از تغییر شکل سطحی زمین بدست می‌آید و پس از آن زمین مرجع کردن و تعیین سیستم مختصات زمینی، روی خروجی انجام می‌شود.



شکل ۲ مراحل انجام تداخل‌سنگی راداری

^۱Goldstein phase filtering

یافته‌ها

منابع آب و هیدرولوژی کبودرآهنگ، شامل منابع آب سطحی و منابع آب زیرزمینی می‌باشد. رودخانه قره‌آغاج از جمله منابع آب سطحی می‌باشد. این رودخانه از دامنه‌های غربی و جنوبی سویاوشی در ۵۲ کیلومتری شمالغرب همدان سرچشمه می‌گیرد و در ادامه به سیمین رود ملحق می‌شود. طول این رودخانه ۴۵ کیلومتر و وسعت حوضه آبریز آن ۴۰۰ کیلومتر مربع است. تعداد چاههای مجاز و فعال براساس آخرین آمار و اطلاعات موجود در حفاظت و بهره‌برداری و با عنایت به نوع مصرف ارائه شده است. تعداد، تخلیه و درصد تخلیه چاههای مجاز و فعال اداره منابع آب شهرستان کبودرآهنگ براساس نوع مصرف در جدول ۲ نشان داده شده است (امیری و همکاران، ۱۳۹۸).

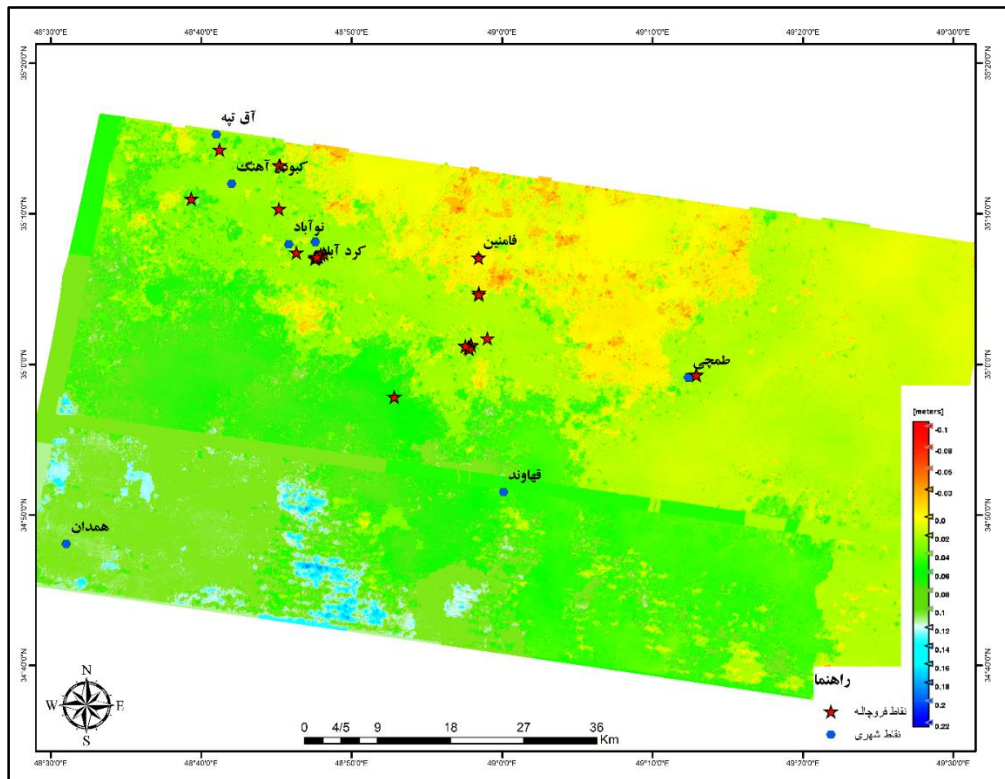
جدول ۲-تعداد؛ تخلیه و درصد تخلیه چاههای مجاز و فعال اداره منابع آب شهرستان کبودرآهنگ براساس نوع مصرف.

نوع مصرف	کشاورزی	دام و طیور	شرب اشخاص	شرب شهری	شرب روستایی	خدمات	مجموع
تعداد	۲۲۱۳	۸۸	۴	۳۶	۱۶۹	۴۸	۲۶۶۲
تخلیه (۱۰۰۰ مترمکعب در سال)	۳۱۲۹۱۰	۱۴۱۹	۴۵۱	۷۶۰۶	۱۴۳۷۰	۲۳۹۱	۳۶۲۷۱۹
درصد تخلیه	۸۶,۳	۰,۳۹	۰,۱۲	۲,۱	۴	۰,۶۶	۱۰۰

همان طور که اشاره شد، منابع آبی این منطقه شامل سفره‌های آب زیرزمینی و آب‌های سطحی (رودخانه‌ها) می‌باشد. توسعه بهره‌برداری از منابع آب زیرزمینی دشت کبودرآهنگ در آذرماه سال ۱۳۷۲ به علت بروز افت مداوم در سطح آب، توسط وزارت نیرو براساس ماده ۴ قانون توزیع عادلانه آب ممنوع اعلام گردید. در این منطقه متأسفانه علاوه بر خشک شدن تدریجی سفره آب زیرزمینی که از حواشی دشت شروع گردیده، در سال‌های اخیر شاهد ایجاد فروچاله‌هایی با ابعاد خطرناک در منطقه هستیم که موجب تهدید و بروز خسارات مالی و حتی جانی می‌شود.

نتایج میزان جابه‌جاویی دوره اول

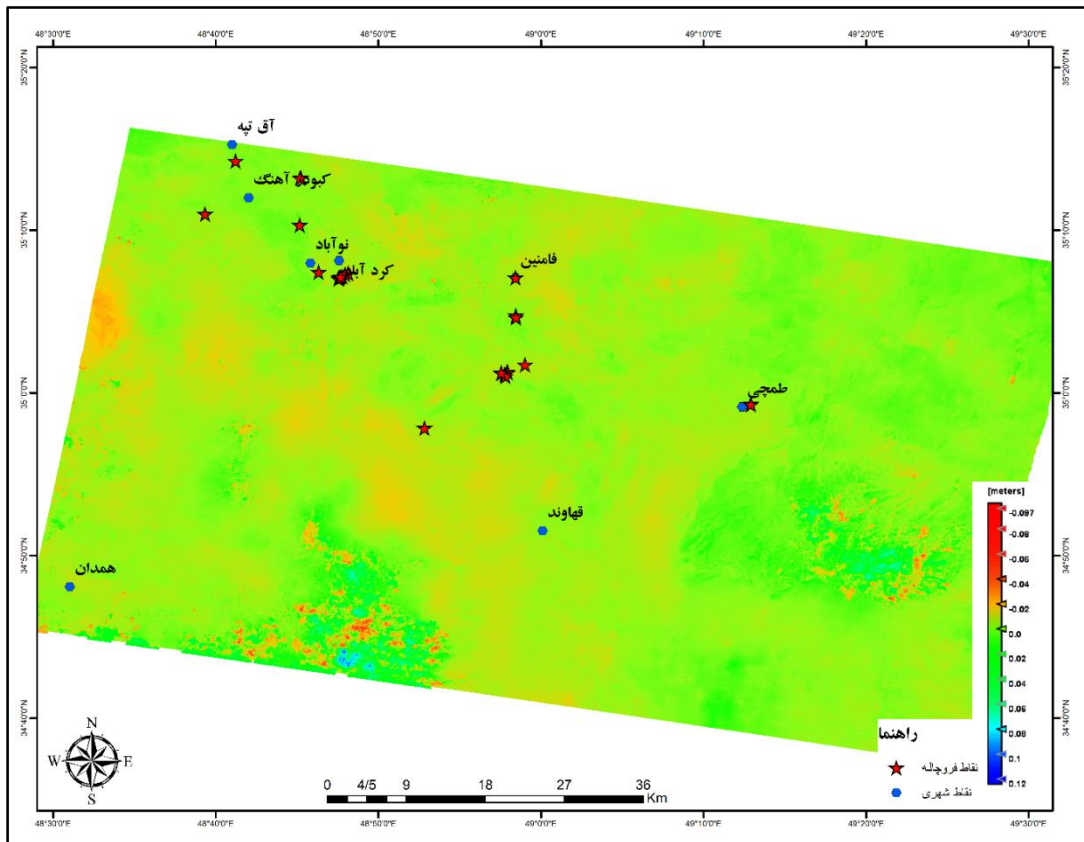
اولین نتیجه محاسبه میزان جابه‌جاویی برای دوره ۸۵ روزه از تاریخ ۱۵/۰۹/۲۰۱۷ تا ۰۸/۱۲/۲۰۱۷ محسوبه گردید. طبق این بررسی میزان جابه‌جاویی منفی یا به عبارتی فرونشست با رنگ زرد تا قرمز به میزان ۰ تا ۱ سانتی‌متر فرونشست را در منطقه نشان می‌دهد. اگر چه این میزان فرونشست ناچیز شمرده می‌شود ولی برای بازه ۸۵ روزه و محل فرونشست که بیشتر در شهرستان کبودرآهنگ و فامنین و مناطقی که بیشترین میزان فروچاله تا به امروز در منطقه اتفاق افتاده است می‌تواند قابل توجه باشد.



شکل ۳ میزان جابه‌جایی عمودی دوره اول

نتایج میزان جابه‌جایی دوره دوم

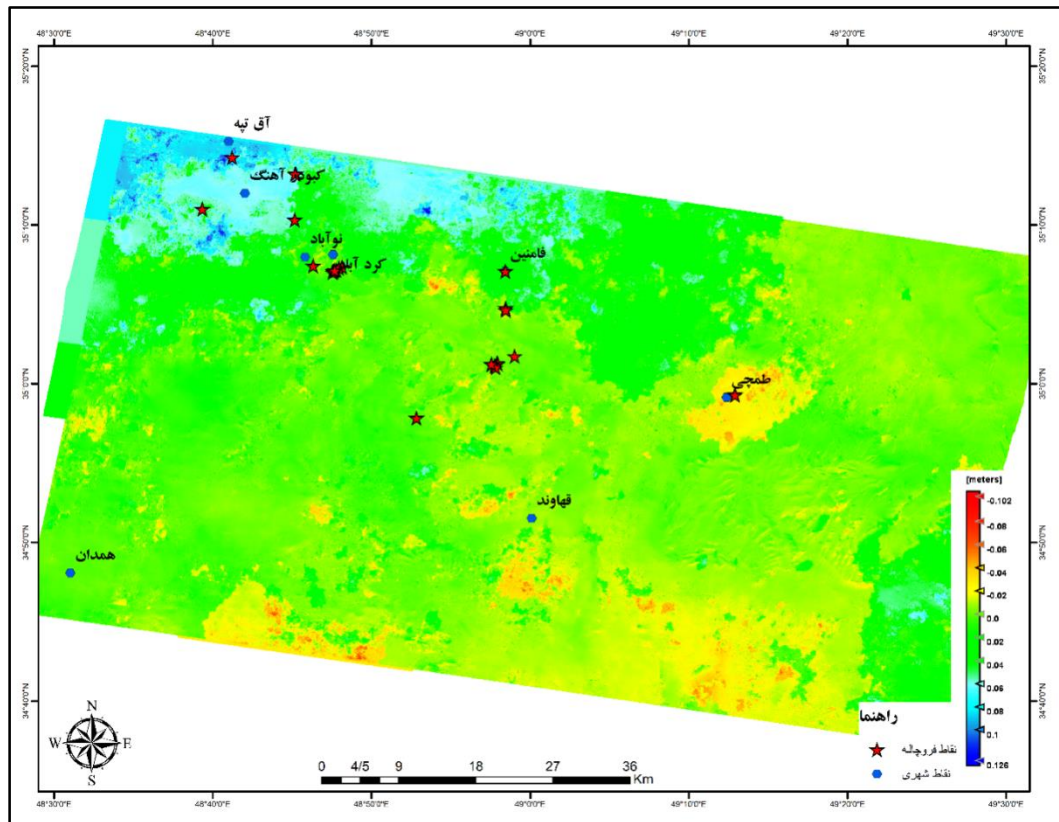
دومین نتیجه میزان محاسبه جابه‌جایی عمودی صورت گرفته در منطقه در بازه زمانی ۸۵ روزه از تاریخ ۲۰۱۷/۱۲/۰۸ تا ۲۰۱۸/۰۳/۰۲ مورد بررسی قرار گرفت. نتایج این بررسی نشان می‌دهد که میزان فرونشست صورت گرفته در منطقه مانند دوره قبل نزدیک به ۱ سانتی‌متر است که علاوه بر مناطق کبود آهنگ و فامنین در بخش‌هایی از دشت قهاوند این فرونشست اتفاق افتاده است. طبق نتایج این دو تصویر در بازه ۶ ماهه اول سال مورد بررسی یک فرونشست تدریجی ثابتی در منطقه اتفاق افتاده است که در شکل ۴ این نتیجه قابل مشاهده است.



شکل ۴ میزان جابه‌جایی عمودی دوره دوم

نتایج میزان جابه‌جایی دوره سوم

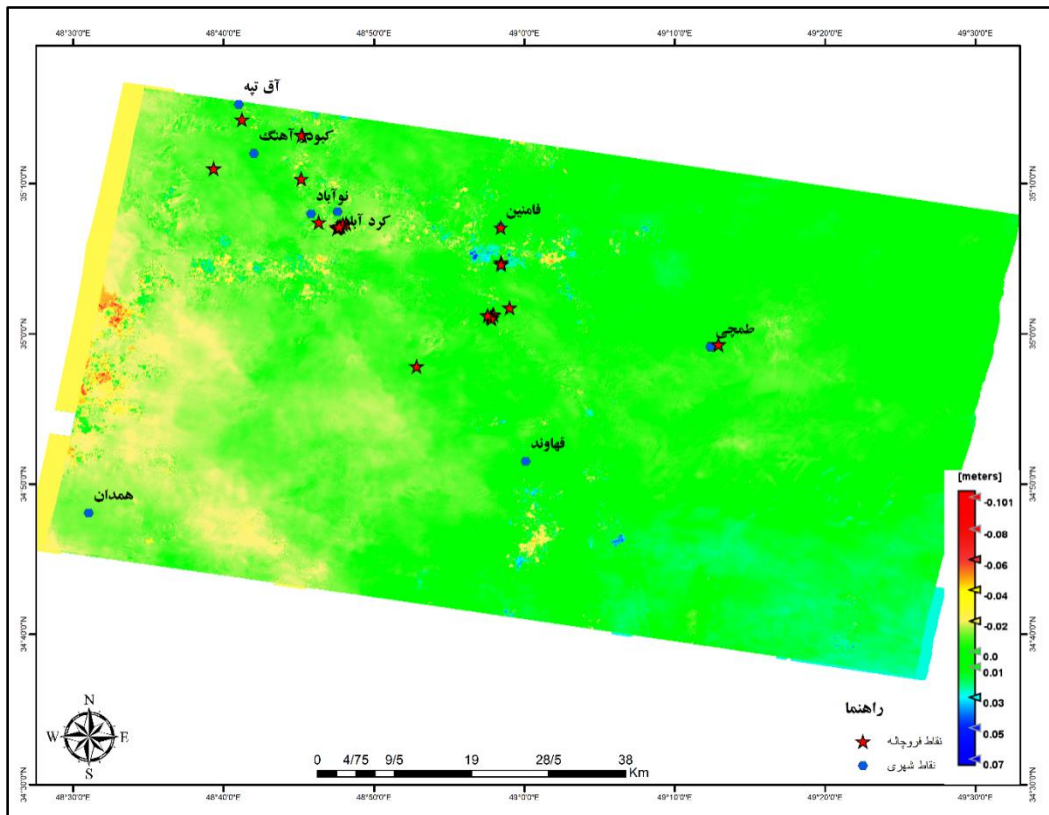
سومین نتیجه میزان محاسبه جابه‌جایی عمودی صورت گرفته در منطقه در بازه زمانی ۹۷ روزه از تاریخ ۲۰۱۸/۰۳/۰۲ تا ۲۰۱۸/۰۶/۰۶ مورد بررسی قرار گرفت. نتایج این بررسی نشان می‌دهد که میزان فرونشست اتفاق افتاده در محدوده مورد مطالعه مانند سری‌های قبل ۱ سانتی‌متر بوده است. اما این فرونشست مانند قبل که بیشتر در دشت کبودراهنگ اتفاق افتاده بود، در این دوره بیشتر در دشت فامین و قهاروند اتفاق افتاده است. نتایج این کار را در شکل ۵ می‌توان مشاهده کرد.



شکل ۵ میزان جابه‌جایی عمودی دوره سوم

نتایج میزان جابه‌جایی دوره چهارم

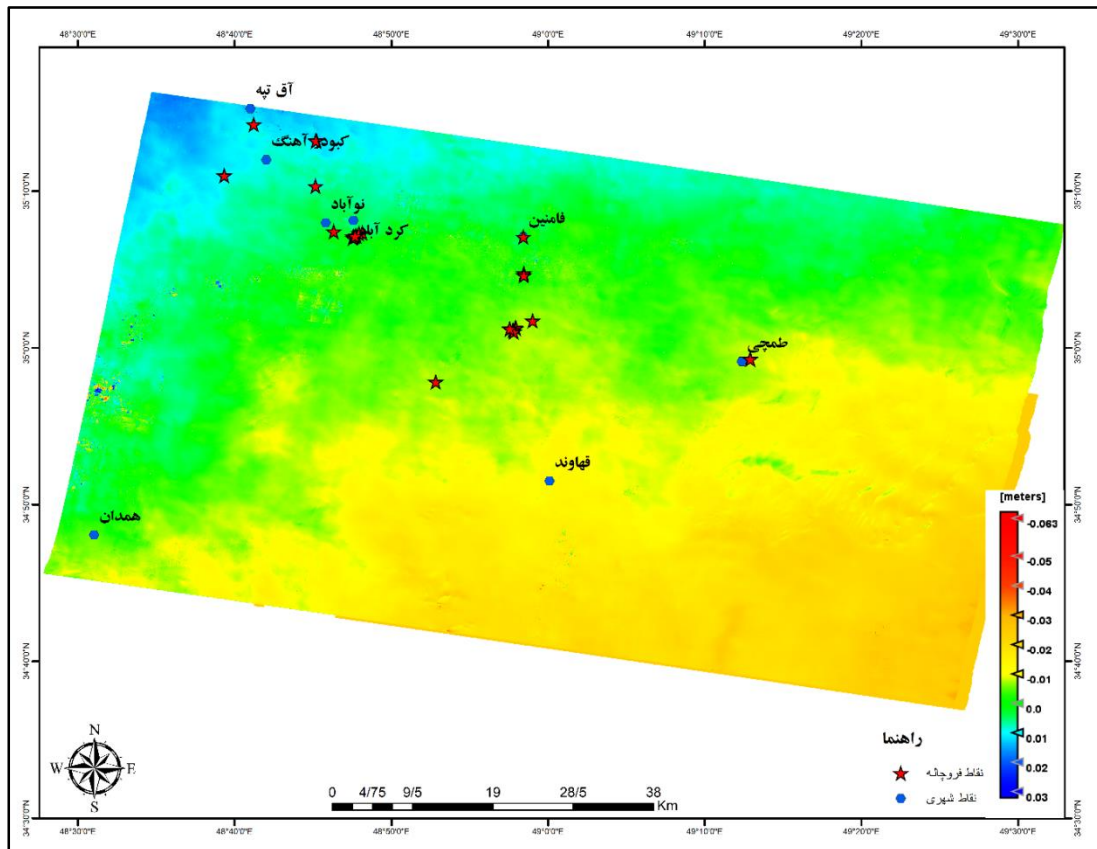
چهارمین نتیجه میزان محاسبه جابه‌جایی عمودی صورت گرفته در منطقه در بازه زمانی ۶۱ روزه از تاریخ ۲۰۱۸/۰۶/۰۶ تا ۲۰۱۸/۰۸/۰۵ مورد بررسی قرار گرفت. نتایج این بررسی نشان می‌دهد که میزان فرونشست اتفاق افتاده در محدوده مورد مطالعه نسبت به دوره‌های قبل به میزان قابل توجهی افزایش یافته است و فرونشستی تا حدود ۱۰ سانتی‌متر را نشان می‌دهد که محل این فرونشست‌ها به صورت بسیار جزئی در منطقه کبودرآهنگ و فامنین قابل مشاهده است. اما بیشترین میزان این فرونشست در محدوده بین کبودرآهنگ و همدان مشخص شده است که در شکل ۶ قابل مشاهده است.



شکل ۶ میزان جابه‌جایی عمودی دوره چهارم

نتایج میزان جابه‌جایی دوره پنجم

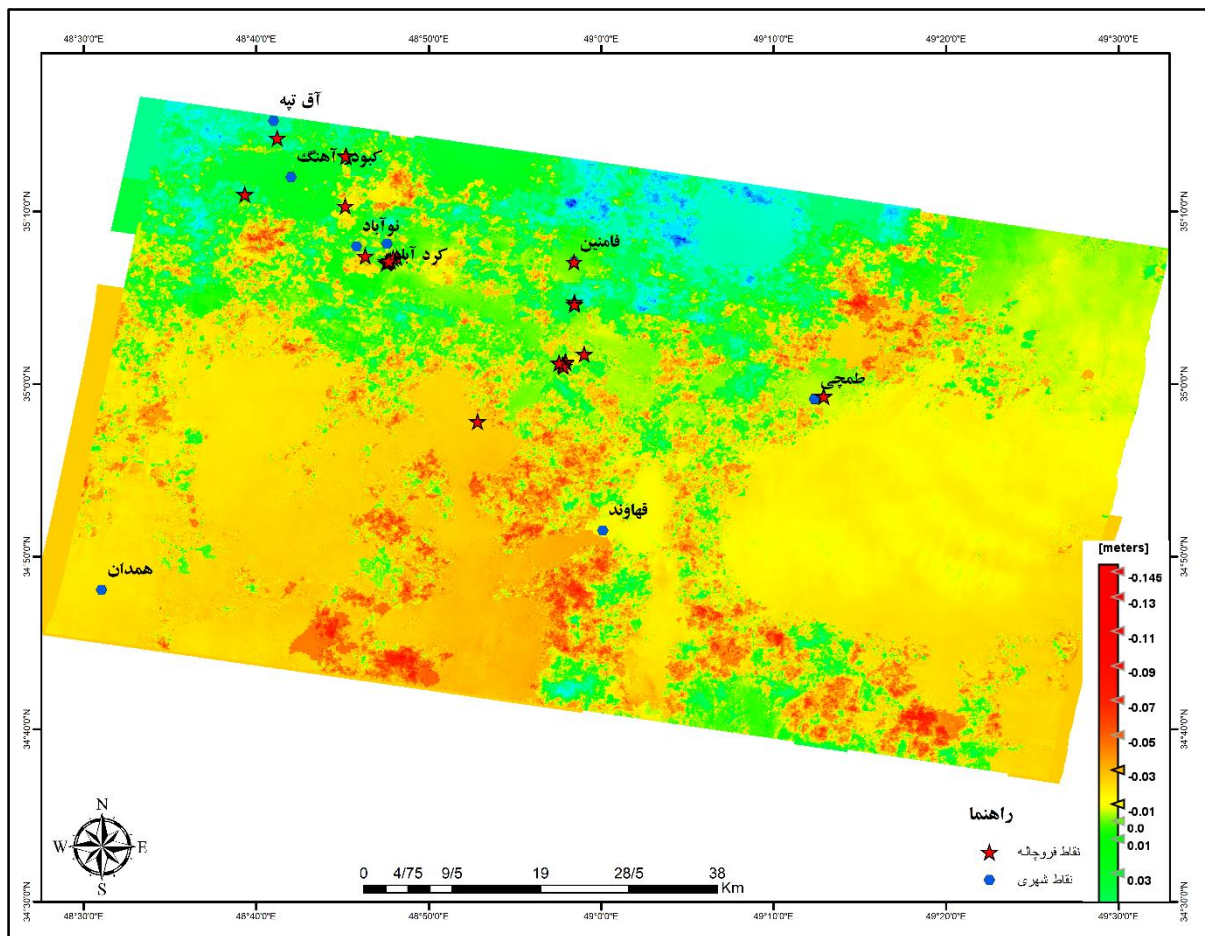
پنجمین نتیجه میزان محاسبه جابه‌جایی عمودی صورت گرفته در منطقه در بازه زمانی ۳۷ روزه از تاریخ ۲۰۱۸/۰۸/۰۵ تا ۲۰۱۸/۰۹/۱۰ مورد بررسی قرار گرفت. نتایج این بررسی نشان می‌دهد که میزان فرونشست صورت گرفته در این دوره بیش از ۶ میلی‌متر بوده است که این فرونشست بیشتر در دشت قهوند اتفاق افتاده است. نتایج این بررسی را می‌توان در شکل ۷ مشاهده نمود.



شکل ۷ میزان جابه‌جایی عمودی دوره پنجم

نتایج میزان جابه‌جایی کل دوره

پس از بررسی بازه‌های تقریباً سه ماهه از منطقه مورد مطالعه با استفاده از تصویر دوره اول و دوره آخر به بازه زمانی ۳۶۱ روز یعنی تصاویر ۲۰۱۷/۰۹/۱۵ تا ۲۰۱۸/۰۹/۱۰ میزان جابه‌جایی کلی مورد بررسی قرار گرفت و نتایج این بررسی در شکل ۸ قابل مشاهده است. نتایج این بررسی نشان می‌دهد که در بازه یک ساله به میزان ۱۴,۵ سانتی‌متر محدوده مورد مطالعه فرونشست داشته است، که این فرونشست به طور جزئی بیشتر در مناطق کردآباد، نوآباد، کبود آهنگ، فامنین و به طور کلی در دشت فامنین، کبود آهنگ، قهاوند و اطراف همدان اتفاق افتاده است. که این نتایج می‌توانند از خبر و قوع خطر فروچاله‌ها در این مناطق را بدهد.



شکل ۸/ میزان جابه‌جایی عمودی دوره یکساله

نتیجه‌گیری

در این پژوهش نرخ فرونشست دشت کبودرآهنگ در بازه زمانی سال ۲۰۱۷ تا ۲۰۱۸ میلادی با استفاده از تصاویر راداری ماهواره sentinel-1 بررسی شد. طبق خروجی نهایی عدد مثبت نشان برآمدگی و عدد منفی نشان فورفتگی (نشست) می‌باشد. که نتایج نهایی در مجموع فرونشست حدود ۱۴/۵ سانتی‌متر در محدوده را نشان می‌دهد که بیشتر این فرونشست‌ها در اطراف مناطق شهری و نزدیک به مناطق مسکونی اتفاق افتاده است که این عامل می‌تواند خبر از وقوع فاجعه‌ای انسانی قریب به وقوع را در استان همدان به خصوص دشت کبودرآهنگ را بدهد. که در صورت در نظر نگرفتن تدبیر مناسب برای رفع این معطل خسارات جبران ناپذیری را می‌تواند به دنبال داشته باشد.

در حال حاضر فروچاله‌ای زیادی در این منطقه مشاهده شده و سبب خسارهای مالی و جانی به ساکنین این دشت شده است ولی با پیشگیری و هشدار زود هنگام با استفاده از روش‌های نوین از جمله بررسی فرونشست با استفاده از تکنیک تداخل‌سنجدی

راداری و استفاده بهینه از منابع آبی می‌توان از وقوع این حادثه جلوگیری کرد و همچنین براساس مقدار نشست در این محدوده، نواحی پر خطر را شناسایی کرد و یا پیش از وقوع حادثه منطقه را از سکنه خالی و از وقوع خسارت‌های جانی جلوگیری کرد.

منابع

- ابراهیمی، عطربن، قاسمی، افshan، و گنجایان. (۲۰۲۰). پایش میزان فرونشست محدوده شهری پاکدشت با استفاده از روش تداخل سنجی راداری. *مجله جغرافیا و روابط انسانی*، ۲(۸)، ۴۱-۲۹.
- امیری، سیدهراضیه، و رضایی، یوسف، و حیدری‌مظفر، مرتضی و جیرانی، کهرba، ۱۳۹۸، "بررسی ارتباط بین عوامل هیدرولوژی و افت سطح آب زیرزمینی در وقوع فرونشست در دشت کبودرآهنگ با استفاده از تصاویر ماهواره‌ای و GIS"، *پایان‌نامه کارشناسی ارشد، موسسه آموزش عالی عمران و توسعه همدان*، همدان.
- رشیدترابی، ف، بینا، ک، ۱۳۹۳، "بررسی و اولویت‌بندی عوامل کاهش سطح آب زیرزمینی و ارائه راهکار: مطالعه موردی دشت مشهد"، *نهمین سمپوزیوم پیشرفت‌های علوم و تکنولوژی مشهد*.
- کرم، ا، ضیائیان، پ، و همدانی، ن، ا، ۱۳۹۲، "بررسی عوامل موثر در وقوع فروچاله‌های دشت ابرکوه و تهیی نقشه‌ی خطر نواحی مستعد بروز آن"، *مجله کاوش‌های جغرافیایی مناطق بیابانی*، ۱(۱)، صفحه ۱۷ تا ۳۴.
- مهشادنیا، ف، ۱۳۸۵، "مروری بر نشست منطقه‌ای زمین در ایران و تدوین بانک اطلاعات فرونشست زمین"، *دهمین همایش انجمن زمین‌شناسی ایران*، شماره ۲.
- Atzori, S., Baer, G., Antonioli, A., & Salvi, S. (2015). *InSAR-based modeling and analysis of sinkholes along the Dead Sea coastline*. *Geophysical Research Letters*, 42(20), 8383–8390.
- Avni, Y., Lensky, N., Dente, E., Shviro, M., Arav, R., Gavrieli, I ,Filin, S. (2016). *Self-accelerated development of salt karst during flash floods along the Dead Sea Coast, Israel*. *Journal of Geophysical Research: Earth Surface*, 121(1), 17-38 .
- Baer, G., Schattner, U., Wachs, D., Sandwell, D., Wdowinski, S., & Frydman, S. (2002). *The lowest place on Earth is subsiding—An InSAR (interferometric synthetic aperture radar) perspective*. *Geological Society of America Bulletin*, 114(1), 12–23 .
- Bakon, M., Czikhardt, R., Papco, J., Barlak, J., Rovnak, M., Adamisin, P., & Perissin, D. (2020). *remotIO: A Sentinel-1 multi-temporal InSAR infrastructure monitoring service with automatic updates and data mining capabilities*. *Remote Sensing*, 12(11), 1892 .
- Berardino, P., Costantini, M., Franceschetti, G., Iodice, A., Pietranera, L& ,Rizzo, V. (2003). *Use of differential SAR interferometry in monitoring and modelling large slope instability at Maratea (Basilicata, Italy)*. *Engineering Geology*, 68(1-2), 31–51 .

- *Bovenga, F., Nutricato, R., Refice, A., & Wasowski, J. (2006). Application of multi-temporal differential interferometry to slope instability detection in urban/peri-urban areas. Engineering Geology, 88(3-4), 218-239 .*
- *Bozzano, F., Carabella, C., De Pari, P., Discenza, M. E., Fantucci, R., Mazzanti, P., . . . Sciarra, N. (202 . (Geological and geomorphological analysis of a complex landslides system: The case of San Martino sulla Marruccina (Abruzzo, Central Italy). Journal of Maps, 16(2), 126-136 .*
- *Bozzano, F., Mazzanti, P., Perissin, D., Rocca, A., De Pari, P., & Discenza ,M. E. (2017). Basin scale assessment of landslides geomorphological setting by advanced InSAR analysis. Remote Sensing, 9(3), 267 .*
- *Castañeda, C., Gutiérrez, F., Manunta, M., & Galve, J. P. (2009). DInSAR measurements of ground deformation by sinkholes, mining subsidence, and landslides, Ebro River, Spain. Earth Surface Processes and Landforms, 34(11), 1562-1574 .*
- *Castaneda, C., Pourthie, N., & Souyris, J.-C. (2011). Dedicated SAR interferometric analysis to detect subtle deformation in evaporite areas around Zaragoza, NE Spain. International Journal of remote sensing, 32(7), 1861-1884 .*
- *Chang, L., & Hanssen, R. F. (2014). Detection of cavity migration and sinkhole risk using radar interferometric time series. Remote Sensing of Environment, 147, 56-74 .*
- *Closson, D., Karaki, N., Hansen, H., Derauw, D., Barbier, C., & Ozer, A. (2003). Space-borne radar interferometric mapping of precursory deformations of a dyke collapse, Dead Sea area, Jordan. International Journal of remote sensing, 24(4), 843-849 .*
- *Ferretti, A., Prati, C., & Rocca, F. (2001). Permanent scatterers in SAR interferometry. IEEE Transactions on geoscience and remote sensing, 39(1), 8-19 .*
- *Galve, J. P., Castañeda, C., Gutiérrez, F., & Herrera, G. (2015). Assessing sinkhole activity in the Ebro Valley mantled evaporite karst using advanced DInSAR. Geomorphology, 229, 30-44 .*
- *Gongyu, L., & Wanfang, Z. (1999). Sinkholes in karst mining areas in China and some methods of prevention. Engineering Geology, 52(1-2), 45-50 .*
- *Gutiérrez, F., Galve, J. P ,Lucha, P., Castañeda, C., Bonachea, J., & Guerrero, J. (2011). Integrating geomorphological mapping, trenching, InSAR and GPR for the identification and characterization of sinkholes: A review and application in the mantled evaporite karst of the Ebro Valley (NE Spain). Geomorphology, 134(1-2), 144-156 .*
- *Hao, J., Wu, T., Wu, X., Hu, G., Zou, D., Zhu, X., . . . Ni, J. (2019). Investigation of a small landslide in the Qinghai-Tibet Plateau by InSAR and absolute deformation model. Remote Sensing, 11(18), 2 .126*

- *Intriери, E., Gigli, G., Nocentini, M., Lombardi, L., Mugnai, F., Fidolini, F., & Casagli, N. (2015). Sinkhole monitoring and early warning: An experimental and successful GB-InSAR application. Geomorphology, 241, 304-314 .*
- *Jones, C. E., & Blom, R .G. (2014). Bayou Corne, Louisiana, sinkhole: Precursory deformation measured by radar interferometry. Geology, 42(2), 111-114 .*
- *Kang, Y., Zhao, C., Zhang, Q., Lu, Z., & Li, B. (2017). Application of InSAR techniques to an analysis of the Guanling landslide. Remote Sensing, 9(10), 1046 .*
- *Kim, J.-W., & Lu, Z. (2018). Association between localized geohazards in West Texas and human activities, recognized by Sentinel-1A/B satellite radar imagery. Scientific Reports, 8(1), 1-13 .*
- *Kim, J.-W., Lu, Z., & Degrandpre, K. (2016). Ongoing deformation of sinkholes in Wink, Texas, observed by time-series Sentinel-1A SAR interferometry (preliminary results). Remote Sensing, 8(4), 313 .*
- *Malinowska, A. A., Witkowski, W. T., Hejmanowski, R., Chang, L., van Leijen, F. J& ,Hanssen, R. F. (2019). Sinkhole occurrence monitoring over shallow abandoned coal mines with satellite-based persistent scatterer interferometry. Engineering Geology, 262, 105336 .*
- *Nof, R. N., Abelson, M., Raz, E., Magen, Y., Atzori, S., Salvi, S., & Baer, G. (2019). SAR interferometry for sinkhole early warning and susceptibility assessment along the Dead Sea, Israel. Remote Sensing, 11(1), 89 .*
- *Nof, R. N., Baer, G., Ziv, A., Raz, E., Atzori, S., & Salvi, S. (2013). Sinkhole precursors along the Dead Sea, Israel, revealed by SAR interferometry. Geology, 41(4), 1019-1022 .*
- *Omidvar, K. (2011). Natural Hazards, Yazd: Yazd University Press.[In Persian].*
- *Paine, J. G., Buckley, S. M., Collins, E. W., & Wilson, C. R. (2012). Assessing collapse risk in evaporite sinkhole-prone areas using microgravimetry and radar interferometryassessing sinkhole collapse risk using microgravimetry and radar interferometry. Journal of Environmental and Engineering Geophysics, 17(2), 75-88 .*
- *Robinson, T., Downs, C., Oliver-Cabrera, T., Zhang, B., Kruse, S., & Wdowinski, S. (2020). Relationships between Sinkhole-related features and activity and InSAR-detected Subsidence Points in West Central Florida .*
- *Rucker, M. L., Panda, B. B., Meyers, R. A., & Lommel, J. C. (2013). Using InSAR to detect subsidence at brine wells, sinkhole sites, and mines. Carbonates and Evaporites, 28(1), 141-147 .*
- *Shi, Y., Tang, Y., Lu, Z., Kim, J.-W., & Peng, J. (2019). Subsidence of sinkholes in Wink, Texas from 2007 to 2011 detected by time-series InSAR analysis. Geomatics, Natural Hazards and Risk .*
- *Veci, L. (2016). Sentinel-1 Toolbox TOPS Interferometry Tutorial. Array Systems Computing Inc.*

- Waltham, A. (1989). *Ground subsidence*: Blackie & Son Limited. First published .
- Wasowski, J., & Bovenga, F. (2014). *Investigating landslides and unstable slopes with satellite Multi Temporal Interferometry :Current issues and future perspectives*. *Engineering Geology*, 174, 103-138 .
- Wilson, W. L., & Beck, B. F. (1988). *Hydrogeologic factors associated with recent doline development in the Orlando area, Florida, USA*. IAHS-AISH publication, 171, 1212-1217 .
- Zhao, J., Wu, J., Ding, X., & Wang, M. (2017). *Elevation extraction and deformation monitoring by multitemporal InSAR of Lupu Bridge in Shanghai*. *Remote Sensing*, 9(9), 897 .